



# Compilador de Funções de Distribuição de Refletância Bidirecional descritas em $\text{\LaTeX}$ para Linguagem de Shading

Everton Santos de Andrade Júnior

Orientador(a): Dra. Beatriz Trinchão Andrade

Universidade Federal de Sergipe

Dez / 2024

# Sumário

## ① Introdução

## ② Conceitos

## ③ Desenvolvimento

## ④ Resultados Experimento Blinn-Phong

## ⑤ Conclusão

## Contexto

- Na **computação gráfica**, a representação realista de cenas tridimensionais depende da modelagem da interação entre a luz e os materiais que compõem os objetos.
- Profissionais e pesquisadores modelam essa interação por meio das **funções de distribuição de refletância bidirecional** (BRDFs) <sup>1</sup>.
- BRDFs são implementadas em programas especializados que rodam na GPU.

---

<sup>1</sup> Do inglês, *Bidirectional Reflectance Distribution Functions*. Referência: [PJH16]

## Contexto - BRDF Blinn-Phong

$$\rho_d = 0, \vec{1}, 1 \quad (1)$$

$$\rho_s = 1, \vec{0}, 1 \quad (2)$$

$$n = +2^8 \quad (3)$$

$$f = \frac{\rho_d}{\pi} + \rho_s * \frac{n+2}{2 * \pi} * \cos \theta_h^n \quad (4)$$



## Contexto - BRDF Cook-Torrance

$$m = 0.3 \quad (1)$$

$$f_0 = 0.4 \quad (2)$$

$$Beckmann(m, t) = \exp((t * t - 1) / (m * m * t * t)) / (m * m * t * t * t * t) \quad (3)$$

$$Fresnel(f_0, u) = f_0 + (1 - f_0) * ((1 - u)^5) \quad (4)$$

$$H = \vec{h} \quad (5)$$

$$V = \omega_o \quad (6)$$

$$L = \omega_i \quad (7)$$

$$N = \vec{n} \quad (8)$$

$$D = Beckmann(m, (N \cdot H)) \quad (9)$$

$$F = Fresnel(f_0, (V \cdot H)) \quad (10)$$

$$G = 1 / (N \cdot V) \quad (11)$$

$$val = \max(D * G, 0.0) \cdot F \quad (12)$$

$$color = 1, 0.5, 1 \quad (13)$$

$$f = color * val / (N \cdot L) \quad (14)$$



## Contexto - *shaders*

- *Shaders* concedem a capacidade de cada objeto renderizado ter sua **aparência configurada por meio de um código** que implementa uma BRDF.

# Motivação

Na renderização, as BRDFs são implementadas por meio de programas chamados de **shaders**. Mas, as BRDFs são comumente descritas por equações em  $\text{L}^{\text{A}}\text{T}_{\text{E}}\text{X}^2$ . Dois problemas surgem com essa modelagem:

- 1 Barreira técnica<sup>3</sup>: visualizar essa modelagem de BRDFs requer conhecimento especializado em programação em linguagem de *shading*.
- 2 Baixo nível de iteração: toda mudança nas equações exige baixar o nível e reescrever o *shader* novamente.

---

<sup>2</sup>  $\text{L}^{\text{A}}\text{T}_{\text{E}}\text{X}$  é um sistema de preparação de documentos para alta qualidade tipográfica. Assim como visto no início.

<sup>3</sup> Físicos ou matemático podem trabalhar com BRDFs e não, necessariamente saber programação baixo nível

## Motivação

Surge a necessidade de **simplificar a criação de shaders para BRDFs**.

Um **compilador** capaz de traduzir BRDFs escritas em  $\text{\LaTeX}$  para *shaders* permitiria uma maior acessibilidade e agilidade na criação de efeitos visuais complexos.

$$\rho_d = 0, \vec{1}, 1$$

$$\rho_s = 1, \vec{0}, 1$$

$$n = +2^8$$

$$f = \frac{\rho_d}{\pi} + \rho_s * \frac{n+2}{2 * \pi} * \cos \theta_h^n$$

diretamente





# Objetivo

Projetar e implementar um **compilador** capaz de:

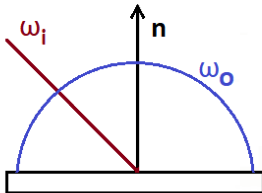
- 1 Processar **BRDFs** descritas em equações  $\text{\LaTeX}$ .
- 2 Gerar **código de shading** na linguagem-alvo da API **OpenGL**.
- 3 Visualizar o efeito dessas BRDFs usando o **código GLSL** gerado.

Resultado esperado é um **shader** que reproduza as características de refletância da BRDF original.

## Conceitos - BRDFs

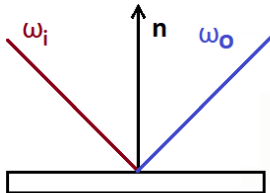
As BRDFs calculam a proporção entre a energia luminosa que atinge um ponto na superfície e como essa energia é:

- Refletida
- Transmitida
- Absorvida



$$f(\omega_i, \omega_o) = \frac{\rho_d}{\pi} \cdot \cos \theta$$

**BRDF Difusa Ideal**



$$f(\omega_i, \omega_o) = k_s \cdot \delta(\omega_i - \omega_o)$$

**BRDF Pura Especular**

## Equação de Renderização

Um renderizador estima a “quantidade” luz  $L_o$  que sai de um ponto em uma direção  $\omega_o$  usando a equação de renderização ([Kaj86]). Nela, a BRDF é encontrada:

$$L_o(p, \omega_o) = L_e(p, \omega_o) + \int_{H^2} f(p, \omega_i, \omega_o) L_i(p, \omega_i) \cos(\theta_i) d\omega_i$$

$L_o$  é radiância de saída (*outgoing*)

$L_e$  é radiância emitida pela superfície (i.e. fonte de luz)

$L_i$  é radiância incidente na superfície

$\omega_i$  é a direção do raio incidente

$\omega_o$  é a direção do raio refletido

$f$  função de refletância

(1)

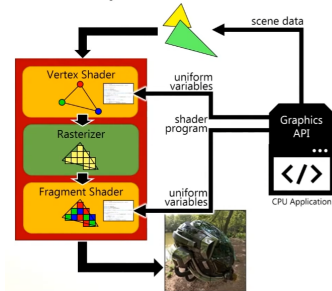
## Pipeline de GPU

Etapas Principais:

- 1 **Shader de Vértice:** Processa e transforma vértices.
- 2 **Rasterização:** Gera fragmentos a partir de primitivas.
- 3 **Shader de Fragmento:** Determina a cor final dos fragmentos.

Fluxo de dados são: CPU → GPU → *Shaders* → Imagem final.

### GPU Pipeline



## Shader de Vértice

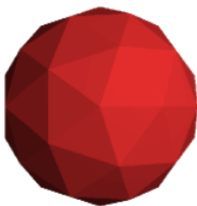
- Aplicação de transformações (ex.: rotação, projeção).
- Transmissão de dados (ex.: normais) ao *shader* de fragmento.

```
1 #version 330 core
2 layout(location = 0) in vec3 inPosition;
3 layout(location = 1) in vec3 inNormal;
4
5 uniform mat4 modelViewProjection;
6
7 out vec3 fragNormal;
8
9 void main() {
10     vec3 manipulatedPosition = inPosition + (sin(gl_VertexID * 0.1) * 0.1);
11     fragNormal = inNormal;
12     gl_Position = modelViewProjection * vec4(manipulatedPosition, 1.0);
13 }
14
```

## Shader de Fragmento

Nesse *shader* é onde a cor final é calculada. Roda paralelamente 1 vez para cada “pixel”.

### Shading para cada vértice



### Shading para cada fragmento

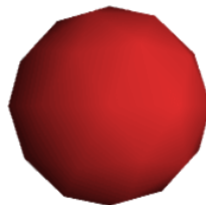


Figure: Diferença entre *shading* por vértice e por fragmento.

# Compilação: Visão Geral

Comilador  $C : L_1 \rightarrow L_2$  mapeia programa de  $L_1$  para  $L_2$  preservando semântica; mantém mesmo significado algorítmico.

## 1 Análise Léxica (Lexing):

- Divide entrada em tokens (palavras-chave, identificadores)
- Reconhecível por máquinas de estado

## 2 Análise Sintática (Parsing):

- Valida tokens segundo gramática
- Constrói árvore sintática hierárquica

## 3 Verificação de Tipos:

- Garante consistência de tipos
- Previne erros em tempo de execução

## 4 Emissão de Código:

- Gera código na linguagem alvo

## Desenvolvimento - Arquitetura do Compilador

- Organização modular para encapsulamento de responsabilidades:
  - `lexer`: Análise léxica e tokenização.
  - `parser`: Construção da AST com *Pratt Parsing*.
  - `walker`: Navegação e análise da AST.
  - `checker`: Inferência de tipos e validações semânticas.
  - `emitter`: Geração do código GLSL.

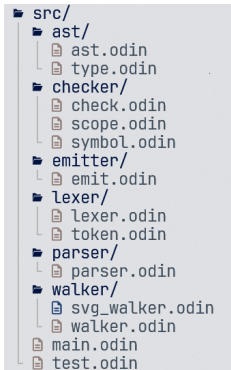


Figure: Estrutura de pacotes do compilador.



# Arquitetura do Compilador

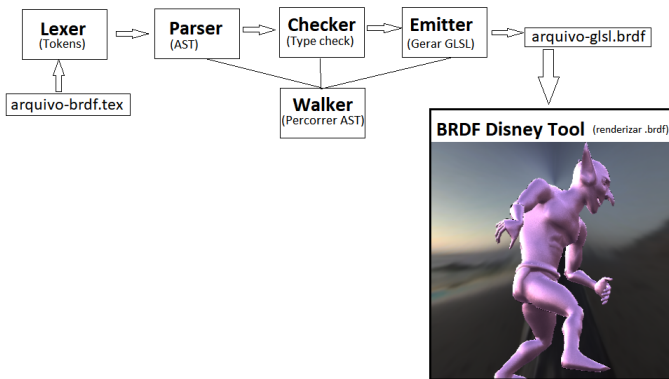


Figure: Estrutura geral da arquitetura do compilador.

## Destaques do Desenvolvimento

- Análise sintática baseada em *Pratt Parsing*, garantindo precisão e hierarquia nas expressões.
- Funcionalidades do `walker`:
  - Navegação genérica e preparação para verificações.
  - Suporte uniforme à travessia de nós.
- Integração do `checker` com a tabela de símbolos para validações semânticas e consistência.
- Geração de *shaders* GLSL compatíveis com Disney BRDF Explorer.

# Resultados

- Experimentos com diferentes BRDFs para validar o compilador
- Metodologia padronizada:
  - Código fonte em  $\text{equation}$  do  $\text{\LaTeX}$
  - Tradução para GLSL pelo compilador
  - Visualização no Disney BRDF Explorer
- Condições controladas:
  - Ângulos de luz fixos ( $\theta_i = 33.89$ ,  $\phi_i = 145.83$ )
  - Gamma = 2.112, Exposição = -1.248

# BRDFs Implementadas

## 11 Experimentos Realizados:

- Modelos Clássicos: Blinn-Phong, Cook-Torrance, Ward
- Modelos Avançados: Ashikhmin-Shirley, Oren-Nayar
- Variações: Cook-Torrance<sub>2</sub>, Ashikhmin-Shirley<sub>2</sub>
- Especializados: Dür, Edwards-2006, Kajiya-Kay-1989, Minnaert

Cada experimento mostra:

- Gráficos 3D e 2D de distribuição
- Renderização de objetos 3D

Equações da BRDF do experimento Blinn-Phong em documento  $\LaTeX$ 

$$\rho_d = 0, \vec{1}, 1 \quad (1)$$

$$\rho_s = 1, \vec{0}, 1 \quad (2)$$

$$n = +2^8 \quad (3)$$

$$f = \frac{\rho_d}{\pi} + \rho_s * \frac{n + 2}{2 * \pi} * \cos \theta_h^n \quad (4)$$

## Código fonte da BRDF do experimento Blinn-Phong

```
\begin{equation}  
  \rho_{d} = \text{vec}\{0,1,1\}  
\end{equation}
```

```
\begin{equation}  
  \rho_{s} = \text{vec}\{1,0,1\}  
\end{equation}
```

```
\begin{equation}  
  n = +2^8  
\end{equation}
```

```
\begin{equation}  
  f = \frac{\rho_{d}}{\pi} + \rho_{s} * \frac{n+2}{2*\pi} *  
  \cos\{\theta_h\}^n  
\end{equation}
```

## Código GLSL da BRDF do experimento Blinn-Phong (1 de 2).

```
1 analytic ::begin parameters
2 #[type][name][min val][max val][default val]
3 ::end parameters
4 ::begin shader
5 /////////////// START OF BUILTINS DECLARTION ///////////////////
6 vec3 var_0_vec_h;
7 vec3 var_3_vec_n;
8 float var_10_theta_h;
9 float var_11_theta_d;
10 float var_1_pi;
11 float var_2_epsilon;
12 vec3 var_4_vec_omega_i;
13 float var_5_theta_i;
14 float var_6_phi_i;
15 vec3 var_7_vec_omega_o;
16 float var_8_theta_o;
17 float var_9_phi_o;
18 /////////////// END OF BUILTINS DECLARTION ///////////////////
19 /////////////// START OF USER DECLARED ///////////////////
20 vec3 var_12_rho_s;
21 float var_13_n;
22 vec3 var_14_rho_d;
23 vec3 var_15_f;
24 /////////////// END OF USER DECLARED ///////////////////
```

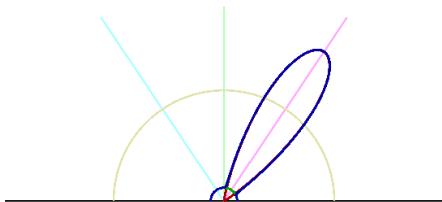
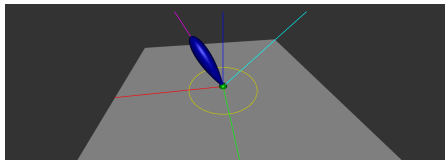
## Código GLSL da BRDF do experimento Blinn-Phong (2 de 2).

```
1 vec3 BRDF(vec3 L, vec3 V, vec3 N, vec3 X, vec3 Y) {
2     /////////////// START OF BUILTINS INITIALIZATION ///////////////
3     var_0_vec_h = normalize(L + V);
4     var_3_vec_n = normalize(N);
5     var_1_pi = 3.141592653589793;
6     var_2_epsilon = 1.192092896e-07;
7     var_4_vec_omega_i = L;
8     var_5_theta_i = atan(var_4_vec_omega_i.y, var_4_vec_omega_i.x);
9     var_6_phi_i = atan(sqrt(var_4_vec_omega_i.y * var_4_vec_omega_i.y +
10                          var_4_vec_omega_i.x * var_4_vec_omega_i.x),
11                      var_4_vec_omega_i.z);
12     var_7_vec_omega_o = V;
13     var_8_theta_o = atan(var_7_vec_omega_o.y, var_7_vec_omega_o.x);
14     var_9_phi_o = atan(sqrt(var_7_vec_omega_o.y * var_7_vec_omega_o.y +
15                          var_7_vec_omega_o.x * var_7_vec_omega_o.x),
16                      var_7_vec_omega_o.z);
17     var_10_theta_h = acos(dot(var_0_vec_h, N));
18     var_11_theta_d = acos(dot(var_0_vec_h, var_4_vec_omega_i));
19     /////////////// END OF BUILTINS INITIALIZATION ///////////////
20     var_12_rho_s = vec3(1.0, 0.0, 1.0);
21     var_13_n = pow(2.0, 8.0);
22     var_14_rho_d = vec3(0.0, 1.0, 1.0);
23     var_15_f = ((var_14_rho_d / var_1_pi) +
24                ((var_12_rho_s * ((var_13_n + 2.0) / (2.0 * var_1_pi))) *
25                 pow(cos(var_10_theta_h), var_13_n)));
26     return vec3(var_15_f);
27 }
```

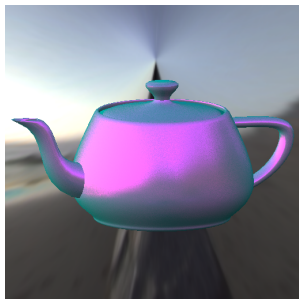


## Plots de Distribuição Blinn-Phong

Figure: *Plots* da distribuição de reflexão especular e difusa do experimento Blinn-Phong.



## Objetos 3D renderizados pelo experimento Blinn-Phong.



# Conclusão

- Objetivo alcançado: desenvolvimento de um compilador para traduzir BRDFs para código GLSL.
- Facilita a criação de *shaders* a partir de descrições matemáticas em  $\text{\LaTeX}$ , democratizando o acesso a técnicas de computação gráfica avançada.
- Integração com ferramentas gratuitas como o visualizador da Disney.
- Projeto interdisciplinar envolvendo:
  - Gramáticas livres de contexto.
  - Traversia em Árvores.
  - Programação com *shaders*.
  - Fundamentos teóricos de refletância e radiometria.

## Principais Contribuições

- Tradução de equações  $\text{\LaTeX}$  em código GLSL para BRDFs:
- Visualização das árvores sintáticas geradas (SVG).
- Geração de mensagens de erro informativos para facilitar depuração.
- Suporte a operações fundamentais em computação gráfica:
  - Produto interno, vetorial.
  - Funções trigonométricas e exponenciação.

## Resultados Obtidos

- Redução da barreira técnica para implementação de BRDFs.
- Sistema funcional e bem-sucedido em experimentos realizados.
- Possibilidade de focar na modelagem de refletância sem detalhes de baixo nível.

## Perspectivas Futuras

- Ampliar suporte a novas construções matemáticas:
  - Somatórios ( $\Sigma$ ) e produtos acumulados ( $\Pi$ ).
  - Vetores de mais dimensões do que apenas 3.
- Adicionar derivadas ( $\frac{d}{dx}$ ) e integrais ( $\int$ ) para resolução numérica.
- Suporte a outras linguagens de *shading* como a usada por Unity<sup>4</sup> e Unreal.
- Desenvolver um editor  $\text{\LaTeX}$  integrado com visualização simultânea.
- Melhorar o tratamento de erros para maior clareza e contextualização.

---

<sup>4</sup>HLSL

## Encerramento

# Fim

- O projeto abre caminho para a democratização de técnicas avançadas em computação gráfica.
- [evertonse.junior@gmail.com](mailto:evertonse.junior@gmail.com).

## Referências

- [Kaj86] James T Kajiya. “The rendering equation”. In: *Proceedings of the 13th annual conference on Computer graphics and interactive techniques*. 1986, pp. 143–150.
- [PJH16] Matt Pharr, Wenzel Jakob, and Greg Humphreys. *Physically Based Rendering: From Theory to Implementation (3rd ed.)* 3rd. San Francisco, CA, USA: Morgan Kaufmann Publishers Inc., Nov. 2016, p. 1266. ISBN: 9780128006450.



# Modelos de BRDFs

- BRDF (Bidirectional Reflectance Distribution Function): Função que descreve como a luz é refletida por uma superfície.
- Apresentaremos modelos clássicos de BRDFs:
  - BRDF Pura Especular.
  - BRDF Difusa Ideal.
  - BRDF Brilhante.
  - BRDF Retro-Refletora.

## BRDF Pura Especular

- Superfície reflete luz apenas em uma direção.
- Segue a Lei da Reflexão:

$$f(\omega_i, \omega_o) = k_s \cdot \delta(\omega_i - \omega_o)$$

- Materiais típicos: metal polido, vidro.

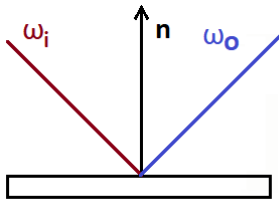


Figure: Reflexão especular. Raio incidente em vermelho e raio refletido em azul.

## BRDF Difusa Ideal

- Reflexão uniforme em todas as direções.
- Função BRDF:

$$f(\omega_i, \omega_o) = \frac{\rho_d}{\pi} \cdot \cos \theta$$

- Exemplos: tinta fosca, papel.

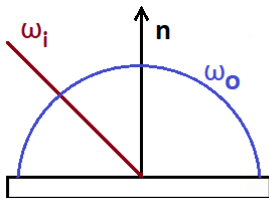


Figure: Reflexão difusa. Raios refletidos independentem do ângulo de entrada.

## BRDF Brilhante

- Combina reflexões especulares e difusas.
- Modelo típico: Blinn-Phong.

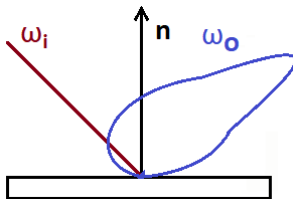


Figure: Reflexão *glossy*.

## BRDF Retro-Refletora

- Redireciona a luz de volta à fonte.
- Utilizado em superfícies como placas de trânsito e sinais de segurança.

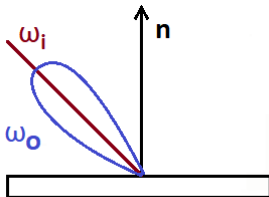


Figure: Reflexão retro-refletora.

## BRDF: Função de Refletância Bidirecional

- BRDF ( $f$ ) descreve como a luz reflete em diferentes direções:

$$f(\omega_i, \omega_o) = \frac{dL_o(\omega_o)}{L_i(\omega_i) \cos(\theta_i) d\omega_i}$$

- Propriedades:

- 1 Positividade:  $f \geq 0$ .
- 2 Conservação de energia:  $\int_{\Omega} f \cos(\theta_i) d\omega_i \leq 1$ .
- 3 Reciprocidade de Helmholtz:  $f(\omega_i, \omega_o) = f(\omega_o, \omega_i)$ .

# Radiometria: Introdução

- Estuda a interação da luz com superfícies na computação gráfica.
- Quantifica energia luminosa:
  - Brilho da fonte de luz.
  - Iluminação e refletância da superfície.
- Fundamenta a renderização realista de cenas tridimensionais.

## Energia Radiante $Q$

- Quantifica a energia total dos fótons atingindo uma superfície.
- Fórmula:

$$Q = \frac{hc}{\lambda}$$

onde:

- $h$ : Constante de Planck.
- $c$ : Velocidade da luz.
- $\lambda$ : Comprimento de onda.



## Fluxo Radiante e Irradiância

- Fluxo Radiante: Energia por unidade de tempo ( $J/s$ ):

$$\phi = \frac{dQ}{dt}$$

- Irradiância: Fluxo radiante por unidade de área:

$$E(p) = \frac{d\phi(p)}{dA}$$

- Quantifica os impactos de fótons em uma superfície.<sup>5</sup>

---

<sup>5</sup>Saber quantos fótons "tocam" uma superfície por segundo, é saber quão iluminado é aquela parte do objeto.

# Radiância

Radiância ( $L$ ): Fluxo radiante por unidade de área e ângulo sólido:

$$L = \frac{d^2\Phi}{dA d\omega \cos(\theta)}$$

Onde:

- $d\omega$ : Ângulo sólido (em sr).
- $\theta$ : Ângulo entre direção de incidência e normal da superfície.

## Visualização da Radiância

- Radiância considera direção específica no hemisfério sobre a superfície.

Figure: Visualização da radiância em uma direção específica do hemisfério.

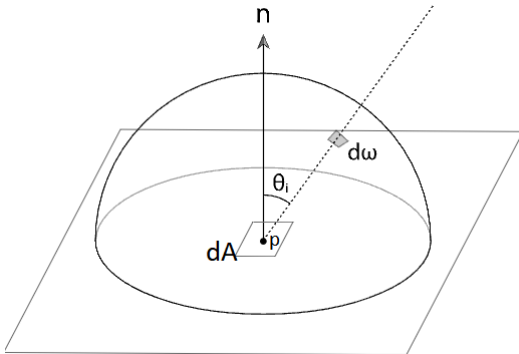


Figure: Ângulo sólido  $s$  do objeto B visto pelo ponto  $p$ .

# Árvore SVG